

関東学院大学工学部 正員 石澤成夫
 関東学院大学工学部 正員 増沢文男
 関東学院大学大学院 学生員 ○職 光天

1. 考え方

現在、斜張橋は最大化の一途をたどりつつ、道路の線形に合わせて曲線斜張橋としての利用が実現される場合があると考えられる。その一例として、1面ケーブル形式では大和川橋梁が、側径間に曲線が入っており、2面ケーブル形式では、タワーのかわりに岩盤にケーブルを定着したRock-A-Chucky橋が建設されている。このように、曲線橋を有する斜張橋ばかりではなく、タワーを有する2面ケーブル形式曲線斜張橋の可能性を探討する必要があると考えられる。本報告では、曲線斜張橋において最も問題となるねじりによる主桁の挙動について研究した。

2. 実験モデルおよび実験方法

実験モデルとしては、図-1のように主桁は閉断面で鋼構造を使用し、タワーには鋼材の角 $\Phi 170$ 、ケーブルにはビア1線を用いたものと2面ケーブル形式で2本の独立したタワーを用いた2往復連続斜張橋とした。このモデルにおいては、主桁とケーブルの互角度を30度とした3面ケーブル形式、およびこれを利用し、ケーブルにおける主桁とケーブルの定着位置 α 、タワーとケーブルの定着位置を変化させた。プレストレスの導入は、ケーブル中央に設けたターンバックルにより、全ケーブル供試定の値に沿うよう調整しながら行行った。モデルの断面諸量は、表-1に示す。支持条件として主桁の中央部が回転支承、両端部は滑動支承とし、タワーは回転支承とし、ケーブルの定着部はピン構造とした。

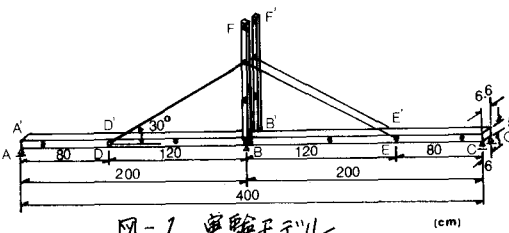


図-1 実験モデル

表-1 断面諸量

BEAM	EA (kg)	4.620×10^6
	E I (kg·cm ²)	2.013×10^7
	GK (kg·cm ²)	1.375×10^7
TOWER	EA (kg)	3.906×10^6
	E I (kg·cm ²)	8.499×10^6
	GK (kg·cm ²)	3.877×10^6
CABLE	EA (kg·cm ²)	1.560×10^4

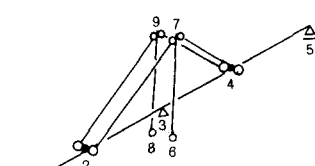


図-2 解析モデル

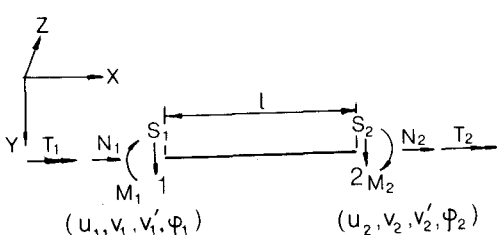


図-3 節点力と節点変位

θ はX軸とZ軸との傾き角である。UはX方向の変位、VはY方向の変位、 φ は回り角、 ψ はねじり角を表す。

$$[K] = \frac{EI}{l^3} \begin{bmatrix} 12 & 6l & 0 & 0 & -12 & 6l & 0 & 0 \\ 6l & 48l^2 & 0 & 0 & -6l & 24l^2 & 0 & 0 \\ 0 & 0 & 2s & 0 & 0 & 0 & s & 0 \\ 0 & 0 & 0 & r & 0 & 0 & 0 & -r \\ -12 & 6l & 0 & 0 & 12 & -6l & 0 & 0 \\ 6l & 24l^2 & 0 & 0 & -6l & 24l^2 & 0 & 0 \\ 0 & 0 & -s & 0 & 0 & 0 & s & 0 \\ 0 & 0 & 0 & -r & 0 & 0 & 0 & r \end{bmatrix}$$

$$S = \frac{Al^2}{I}, \quad r = \frac{GKl^2}{EI}$$

$$[T] = \begin{bmatrix} 1 & u & 0 & 0 & 0 & 0 & 0 & 0 \\ -u & 1 & 0 & 0 & 0 & 0 & 0 & 0 \\ 0 & 0 & \lambda t & M_t & 0 & 0 & 0 & 0 \\ 0 & 0 & -M_t & \lambda t & 0 & 0 & 0 & 0 \\ 0 & 0 & 0 & 0 & 0 & \lambda & u & 0 \\ 0 & 0 & 0 & 0 & 0 & -\lambda & \lambda & 0 \\ 0 & 0 & 0 & 0 & 0 & 0 & 0 & M_t \\ 0 & 0 & 0 & 0 & 0 & 0 & -M_t & \lambda t \end{bmatrix}$$

$$\lambda = \cos \omega, \quad M = \sin \omega$$

$$\lambda t = \cos \omega t, \quad M_t = \sin \omega t$$

解析モデルは、節点2, 4において主桁幅を考慮せよとのとしているが、主桁の剛性マトリックスでタワー間隔にしてこれを考慮する事にした。いす,

$$U = U_2 - U_1 + \varphi_b \cdot r_b / 2$$

EI/L r_b : タワー間隔

$$\delta U = \delta U_2 - \delta U_1 + \delta \varphi_b \cdot r_b / 2$$

φ_b : 主桁のねじり率

とすれば、ケーブルの仮想内部エネルギー δW は次のようになれる。

$$\delta W = \{\delta w\}^T [K] \{w\}$$

$\therefore \delta W \{w\}^T = \langle U_1, U_2, \varphi_b \rangle$ である。そして剛性マトリックス[K]は、

$$[K] = \begin{bmatrix} 1 & -1 & \frac{r_b}{2} \\ -1 & 1 & -\frac{r_b}{2} \\ \frac{r_b}{2} & -\frac{r_b}{2} & (\frac{r_b}{2})^2 \end{bmatrix}$$

で算出される事になる。ただし、ここで主桁のねじりのみを考慮しており、タワー形状によらず、ケーブルの主桁へのねじり剛性へ寄与するマトリックスは異なる。ここでは、実験桁の形状をとおのとして剛性マトリックスを求めた。

4. 実験結果

図-4は実験結果の一例であるが、図-1の構造において支点Aより75cmのケーブルと主桁の定着部附近に1000kg/cmの偏心荷重を施してときの垂直応力図である。D, E点はケーブル定着点で、実線は理論値で、印は実験値である。この図においては、この実験値は変形法の理論解とほぼ一致しているようである。

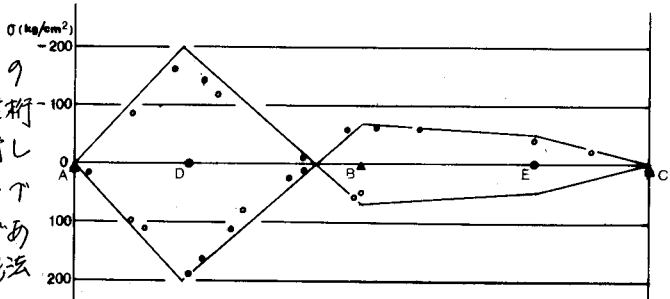


図-4 垂直応力図

5. あとがき

本実験においてケーブルのアレットレス導入が、ほぼ期待通りの結果を得る事ができた。また、理論解析において簡素化してモデルでも充分対応できることがわかった。なお本報では、実験の一例とせずにはいたが、斜張橋のねじり剛性は、桁断面とケーブルの位置など複雑な要素を含んでいる。これらの詳細な報告は、当日発表する予定である。

最後に、過去2年間にわたり基礎から現在まで御指導頂いた鶴田正義博士、並びに理論解析において御指導下さいました渡田義夫助教授に対して謝意を表します。